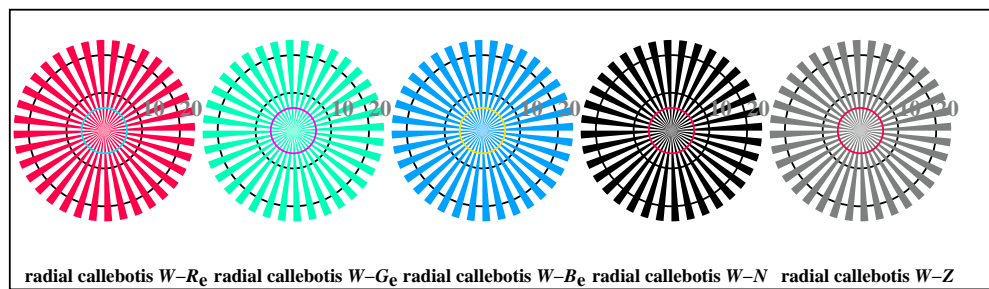


TF821-1, Fig. D4Wde: 16 équidistants étapes  $W-R_e; W-G_e; W-B_e; W-N$ ;  $rgb/cmy0 \rightarrow rgb_{de}$  setrgbcolor

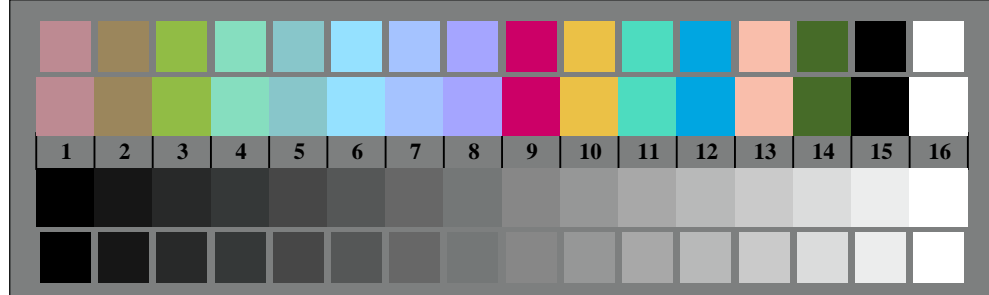
+-.: Q	O O O C	lmno C O C O C	pqrs O O O O O	uvwxyz O O O O O
xyz; O	O O O C	hijk O C O C O	lmno O O O O O	pqrs O O O O O
tuvw O	O O O C	defg O O O C O	hijk O O O O O	hijk O O O O O
pqrs O	O O O C	!abc O O O O O	+-.: O O O O O	+-.: O O O O O
lmno O	O O O C	+-.: O O O O O	uvwxyz O O O O O	uvwxyz O O O O O
hijk C	C C C C	xyz; O O O O O	tuvw O O O O O	tuvw O O O O O
defg O	O O O C	defg O O O O O	defg O O O O O	defg O O O O O
!abc O	O O O C	!abc O O O O O	6 N R_e G_e B_e Z	4 N R_e G_e B_e Z
10 N R_e G_e B_e Z				

TF821-3, Fig. D5Wde: code et Landolt anneau  $N; R_e; G_e; B_e; Z$ ; PS operator  $rgb \rightarrow rgb_{de}$  setrgbcolor



radial callebotis  $W-R_e$  radial callebotis  $W-G_e$  radial callebotis  $W-B_e$  radial callebotis  $W-N$  radial callebotis  $W-Z$

TF820-5, Fig. D2Wde: radial callebotis  $W-R_e; W-G_e; W-B_e; W-N$ ; PS operator  $rgb \rightarrow rgb_{de}$  setrgbcolor



TF820-7, Fig. D3Wde: 14 CIE test couleurs et 2 + 16 gris étapes (sf);  $rgb/cmy0 \rightarrow rgb_{de}$  setrgbcolor

anneaux Landolt $W-R_e$		Code		anneaux Landolt $W-G_e$		Code	
0-1				0-1			
7-8				7-8			
E-F				E-F			
2-0				2-0			
8-6				8-6			
F-D				F-D			

TF821-5, Fig. D6Wde: anneaux Landolt  $W-R_e; W-G_e$ ; PS operator  $rgb \rightarrow rgb_{de}$  setrgbcolor

anneaux Landolt $W-B_e$		Code		anneaux Landolt $W-N$		Code	
0-1				0-1			
7-8				7-8			
E-F				E-F			
2-0				2-0			
8-6				8-6			
F-D				F-D			

TF821-7, Fig. D7Wde: anneaux Landolt  $W-B_e; W-N$ ; PS operator  $rgb \rightarrow rgb_{de}$  setrgbcolor